

九重太は 正会員 横木武

1 緒言 著者はこれまで主として全周辺が壁等で支持される無深板構造(以下単に無深板と称す)について、著者に見受けられるごとく、スラブに比して壁の曲げ剛性が十分ない場合、すなわち全周辺が単純支持される無深板の解法について研究し、その成果を報告してきた。しかししながら、実際には単純支持のまわり無深板の解法について研究し、その成果を報告してきた。しかししながら、実際には単純支持のまわり無深板の解法について研究し、その成果を報告してきた。しかししながら、実際には単純支持のまわり無深板の解法について研究し、その成果を報告してきた。しかししながら、実際には単純支持のまわり無深板の解法について研究し、その成果を報告してきた。

2 解法 (1) 基本連立方程式による解法 1対立2単純支持される無深板に垂直荷重が作用する場合、板から柱に伝わる反力をもつて垂直反力をより直角方向へ面外反力をモーメントの形を考慮し、板面内の水平反力および反力をモーメントを微小と考へ並視するものとする。しかしこれは、垂直荷重の独立にこれら諸反力を考慮せねばならず、開口の境界条件を満足する1対立2単純支持矩形板の弹性曲面を求めれば、板の基礎微分方程式から次のようく導定される(図-1)。

$$w = \sum_{m=1}^{\infty} \sum_{n=1}^{\infty} \{ f_{mn}(\xi) + \sin m\pi \xi \} G_{mn} \sin m\pi \eta \quad (1)$$

$$\text{ここで}, G_{mn} = \left(\frac{a^2}{D} \right) \frac{T_{mn}}{\{ (m\pi)^2 + (n\pi/b)^2 \}^2}, \quad D: \text{板剛度}, \quad m = \theta/a, \quad \xi = y/a, \quad \eta = x/b.$$

a, b : X及びY方向の板の边長, $2L_{bd}a \times 2L_{ad}b$: 柱間の断面積(矩形).

$$T_{mn} = p_{mn} - \frac{4}{ab} \sum_{k=1}^{\infty} \sum_{l=1}^{\infty} \{ T_{kl} \Gamma_{kl}(m,n) \sin m\pi \xi_k \sin n\pi \eta_l \}$$

$$- \frac{1}{b} M_{kl}^x \Gamma_{kl}(m,n) \cos m\pi \xi_k \sin n\pi \eta_l - \frac{1}{b} M_{kl}^y \Gamma_{kl}(m,n) \sin m\pi \xi_k \cos n\pi \eta_l \},$$

$$p_{mn} = k \int_0^1 p(\xi, \eta) \sin m\pi \xi \sin n\pi \eta d\xi d\eta, \quad p(\xi, \eta): \text{荷重密度} \quad \Gamma_{kl}(m, n) = \frac{1}{\pi^2 ab L_{bd} L_{ad}} \sin m\pi \xi_k \sin n\pi \eta_l$$

$$\Gamma_{kl}^x(m, n) = \frac{3}{\pi^2 ab L_{bd} L_{ad}} \left(\frac{\sin m\pi \xi_k}{m\pi \xi_k} - \cos m\pi \xi_k \right) \sin n\pi \eta_l, \quad \Gamma_{kl}^y(m, n) = \frac{3}{\pi^2 ab L_{bd} L_{ad}} \left(\frac{\sin n\pi \eta_l}{n\pi \eta_l} - \cos n\pi \eta_l \right) \sin m\pi \xi_k$$

式(1)右端(油差ス頂)は対立2単純支持矩形板の解であり、すなはち第1項の $f_{mn}(\xi)$ は A C および B D の境界条件に応する補正項であり、種々の境界条件のうちその一部は表-1のとく決定される。

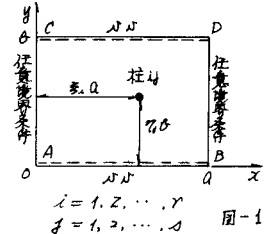


図-1

境界条件	$f_{mn}(\xi)$
1 AC 固定 BD・自由	$\frac{m\pi}{1 - (m\pi/a)^2/(b\pi)^2} \left[\{(-1)^m + \frac{m\pi}{\mu}/\xi_m\} \frac{1}{\xi_m} \sinh \frac{m\pi}{\mu} \xi - \{(\frac{m\pi}{\mu})/\xi_m + (-1)^m (1 - \frac{m\pi}{\mu}/\xi_m)\} \frac{1}{\xi_m} \sinh \frac{m\pi}{\mu} \xi \right. \\ \left. - (-1)^m (\frac{m\pi}{\mu} \xi)/\xi_m \cosh \frac{m\pi}{\mu} \xi + \xi (\frac{1}{\xi_m} \sinh \frac{m\pi}{\mu} \xi - \cosh \frac{m\pi}{\mu} \xi) \right]$
2 AC・自由 BD・自由	$\frac{m\pi (b\pi/\xi_m)^2 \{(m\pi)^2 + (2-y)^2 (n\pi/b)^2\}}{(3+y)^2 - (1-y)^2 (n\pi/b)^2 / (b\pi)^2} \left[\{ (1-y) \frac{m\pi}{\mu} \} / \xi_m - (-1)^m (1+y) \frac{m\pi}{\mu} / \xi_m - (-1)^m ((3+y) + (1-y) \frac{m\pi}{\mu} \xi_m) \right] \frac{1}{\xi_m} \sinh \frac{m\pi}{\mu} \xi + 2 \left \frac{1}{\xi_m} \right. \\ \left. - \frac{(-1)^m (\frac{m\pi}{\mu})}{\sqrt{m\pi}} ((3+y) + (1-y) \frac{m\pi}{\mu} \xi_m) \right \frac{1}{\xi_m} \cosh \frac{m\pi}{\mu} \xi - (-1)^m ((\frac{1}{\xi_m} \cosh \frac{m\pi}{\mu} \xi - \sinh \frac{m\pi}{\mu} \xi) - (3+y) \xi (\frac{1}{\xi_m} \sinh \frac{m\pi}{\mu} \xi - \cosh \frac{m\pi}{\mu} \xi)) \right]$
3 AC・固定 BD・単純	$\frac{m\pi}{1 - (m\pi/a)/(b\pi/\xi_m)} \left\{ \sinh \frac{m\pi}{\mu} \xi / (\xi_m c_n) + \xi (\xi_m \sinh \frac{m\pi}{\mu} \xi / c_n - \cosh \frac{m\pi}{\mu} \xi) \right\}$
4 AC・単純 BD・自由	$\frac{m\pi \{(m\pi)^2 + (2-y)^2 (\frac{m\pi}{\mu})^2\} (-1)^m}{(3+y) + (1-y) (\frac{m\pi}{\mu}) / (b\pi/\xi_m)} \left[- \frac{1}{1-y} (\frac{m\pi}{\mu})^2 + (1-y) (\frac{m\pi}{\mu}) \frac{c_n}{\xi_m} \right] \frac{1}{\xi_m} \sinh \frac{m\pi}{\mu} \xi + (\frac{m\pi}{\mu})^2 \frac{\xi}{c_n} \cosh \frac{m\pi}{\mu} \xi$

表-1 $f_{mn}(\xi)$ の式

$$\Rightarrow 1: \xi_m = \sinh \frac{m\pi}{\mu}, \quad c_n = \cosh \frac{m\pi}{\mu}$$

地方、柱 i の頭部における板と柱との变形条件は次のようである。

$$W(\xi_i, \eta_j) = dy, \quad \frac{\partial W}{\partial \xi}(\xi_i, \eta_j) = Q_{ij}^x, \quad \frac{\partial W}{\partial \eta}(\xi_i, \eta_j) = b\theta_j^y \quad (i=1, 2, \dots, r, \quad j=1, 2, \dots, s) \quad (2)$$

ここで、 dy, Q_{ij}^x, θ_j^y ：柱 i の頭部の垂直変位および x, y 方向の回転変位

式(2)を式(1)に代入のうえ、演算整理すれば次式を得る。

$$\left. \begin{aligned} \sum_{k=1}^r \sum_{l=1}^s \left(T_{kl} H_{kl}^{ij} - \frac{1}{a} M_{kl}^x H_{kl}^{xy} - \frac{1}{b} M_{kl}^y H_{kl}^{yy} \right) &= \frac{ab}{a} L_y - \frac{bd}{a} dy \\ \sum_{k=1}^r \sum_{l=1}^s \left(T_{kl} O_{kl}^{ij} - \frac{1}{a} M_{kl}^x O_{kl}^{xy} - \frac{1}{b} M_{kl}^y O_{kl}^{yy} \right) &= \frac{ab}{4} L_y^x - \frac{bd}{4} \theta_y^x \\ \sum_{k=1}^r \sum_{l=1}^s \left(T_{kl} Q_{kl}^{ij} - \frac{1}{a} M_{kl}^x Q_{kl}^{xy} - \frac{1}{b} M_{kl}^y Q_{kl}^{yy} \right) &= \frac{ab}{4} L_y^y - \frac{bd}{4} \theta_y^y \end{aligned} \right\} \quad i=1, 2, \dots, r, \quad j=1, 2, \dots, s \quad (3)$$

$$\therefore H_{kl}^{ij} = \sum_{m=1}^{\infty} \sum_{n=1}^{\infty} \frac{1}{K_{mn}} P_{kl}^j(m, n) \sin m\pi\xi_k \sin n\pi\eta_l \{ f_{mn}(\xi_i) + \sin m\pi\xi_i \} \sin n\pi\eta_j$$

$$H_{kl}^{xy} = \sum_{m=1}^{\infty} \sum_{n=1}^{\infty} \frac{1}{K_{mn}} P_{kl}^x(m, n) \cos m\pi\xi_k \sin n\pi\eta_l \{ f_{mn}(\xi_i) + \sin m\pi\xi_i \} \sin n\pi\eta_j$$

$$H_{kl}^{yy} = \sum_{m=1}^{\infty} \sum_{n=1}^{\infty} \frac{1}{K_{mn}} P_{kl}^y(m, n) \sin m\pi\xi_k \cos n\pi\eta_l \{ f_{mn}(\xi_i) + \sin m\pi\xi_i \} \sin n\pi\eta_j$$

$$O_{kl}^{ij} = \sum_{m=1}^{\infty} \sum_{n=1}^{\infty} \frac{1}{K_{mn}} P_{kl}^x(m, n) \sin m\pi\xi_k \sin n\pi\eta_l \{ f'_{mn}(\xi_i) + m\pi \cos m\pi\xi_i \} \sin n\pi\eta_j$$

$$O_{kl}^{xy} = \sum_{m=1}^{\infty} \sum_{n=1}^{\infty} \frac{1}{K_{mn}} P_{kl}^y(m, n) \cos m\pi\xi_k \sin n\pi\eta_l \{ f'_{mn}(\xi_i) + m\pi \cos m\pi\xi_i \} \sin n\pi\eta_j$$

$$Q_{kl}^{ij} = \sum_{m=1}^{\infty} \sum_{n=1}^{\infty} \frac{1}{K_{mn}} P_{kl}^y(m, n) \sin m\pi\xi_k \sin n\pi\eta_l \{ f_{mn}(\xi_i) + \sin m\pi\xi_i \} n\pi \cos n\pi\eta_j$$

$$Q_{kl}^{xy} = \sum_{m=1}^{\infty} \sum_{n=1}^{\infty} \frac{1}{K_{mn}} P_{kl}^x(m, n) \cos m\pi\xi_k \sin n\pi\eta_l \{ f_{mn}(\xi_i) + \sin m\pi\xi_i \} n\pi \cos n\pi\eta_j$$

$$L_{ij} = \sum_{m=1}^{\infty} \sum_{n=1}^{\infty} \frac{P_{mn}}{K_{mn}} \{ f_{mn}(\xi_i) + \sin m\pi\xi_i \} \sin n\pi\eta_j, \quad L_{ij}^x = \sum_{m=1}^{\infty} \sum_{n=1}^{\infty} \frac{P_{mn}}{K_{mn}} \{ f'_{mn}(\xi_i) + m\pi \cos m\pi\xi_i \} n\pi \cos n\pi\eta_j$$

$$L_{ij}^y = \sum_{m=1}^{\infty} \sum_{n=1}^{\infty} \frac{P_{mn}}{K_{mn}} \{ f'_{mn}(\xi_i) + m\pi \cos m\pi\xi_i \} \sin n\pi\eta_j, \quad K_{mn} = \{ (m\pi)^2 + (n\pi/a)^2 \}^2$$

式(3)は柱の未知反力と同数の連立方程式であり、これを無深板に関する基本連立方程式と名付ける。

垂直変位 dy が柱の不等沈下量 δ と既知量となるから、式(3)に代入する。また、既往の研究論文における角変位式から、柱頭の回転変位 θ_y^x, θ_y^y を反力モーメント M_y^x, M_y^y の函数とみなす。これらを諸値として用いて式(3)に代入のうえ連立して解けば、柱の未知反力が算出されることがわかる。また、この結果を式(1)に代入すれば板の弹性曲面が求められ、さらに、 w と板の断面諸量は、無深板の剛度から、板の応答変位における角変位が曲げモーメント、振りモーメントとが算定され、本題の無深板が解けたことになる。以上、式(3)によってみた諸係数 H, O, Q は板の辺長比せ柱の位置などの諸寸法によるべきであるが、柱の断面積 A は荷重状態により定まる荷重項であるが、これらは以下の題意の無深板から柱を取り除いたそらなる矩形板（基本構）の角の曲げモーメントと曲げ剛性 EI である。したがって、 $f_{mn}(\xi)$ と表記する場合、形状定数 H_{kl}^{ij} は柱頭か車輪支持で他の柱頭が固定された矩形板に、単柱荷重 P (柱の断面 $240ax240b$ の領域: 等分布 c , $a+b$ その総和が単位であることを前提) が作用するとき、梁が下向きに起す垂直変位 dy を%倍したものであるといえる。また、荷重項 L_{ij} は、無深板に作用する垂直荷重と同じ荷重が上部の矩形板に働くとき、矩形板の実応が垂直下向きに起す垂直変位 dy の $D/4$ 倍したものである。

(2) 角の曲げモーメント関係式による解法 1. 初めて車輪支持された柱頭が車輪支持までは固定されたことより無深板は、著者がこれまでに示した角の曲げモーメント (関係式) による連続矩形板の解法を応用することとする。この解説については既に文献(3)に報告したので省略する。本法は連続無深板の解法として最も古い方法であるが、実用的見地から(4)の方

法が望まれる。そのため、(1) の方法では形状定数による荷重分布をあらかじめ算出のうえ回転角として用けば、任意の位置に柱が存在する場合の荷重を受けうるとき多様な無深板を、簡単に四則演算の代によく解消すことができる。ラーメンや連続ばかりの解析と何ら変わりない考え方である。これに対し、本法では固定端の端モーメントを級数展開式により仮定すること、および回転角に関する周辺の境界条件から級数展開の展開係数を用いて表わされるため、未知子静定盤を導出するための連立方程式が未知数の単独項と級数和の項で表されたり、また展開形式のままでえらぶ、以下がその解である。一種の試算による収束計算となり多大の労力を要するところである。

3 計算例 (1) 全周辺が車輪支承で、他周辺が固定された無深板 図-2 に示すように周辺条件をもち、左側中央に半径 R の支持された無深板に、等分布荷重が満載される場合の解法を示す。これは次のようである。まず、簡単のため、既往研究に見受けられるごとに本例は左柱の反力モーメントを無視し、垂直反力のせん加重下での仮定す。周辺単純支持無深板に関する諸数値(文献(1)参照)を補正することにする。本例の無深板に適用する基本連立方程式の形状定数による荷重項を示すのは表-1 のことである。これら諸値を用いて基本連立方程式を解くと左柱の垂直反力が次のよう算出される。

$$T_{Vf} = 0.120 \text{ } f_0 a^2 \quad (i=1, 2, j=1, 2)$$

この値は全周辺が車輪支承である場合の解 $T_{Vf} = 0.133 \text{ } f_0 a^2$ に対する約 98% 小さい。そのため、柱の分担力が減少しその設計に有利であるといえる。柱の垂直反力 T_{Vf} の値を式(4)に代入すれば、本例の弹性曲面が求まり、さらにはこれより柱の断面諸量が決定されるが、これらのうち、たかがわ、X および Y 方向の曲げモーメント M_x, M_y について算出のうえプロットすれば図-3、4.5 のこととなる。左玉圓中央には全周辺が車輪支承である無深板の解と併記し比較計算した。

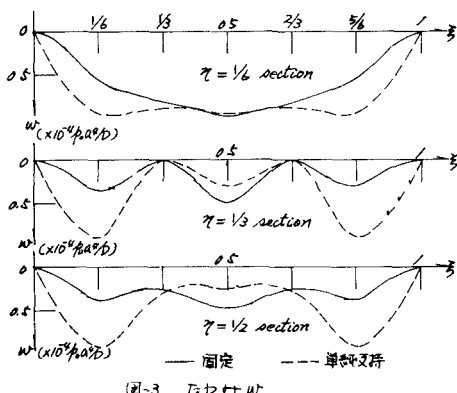
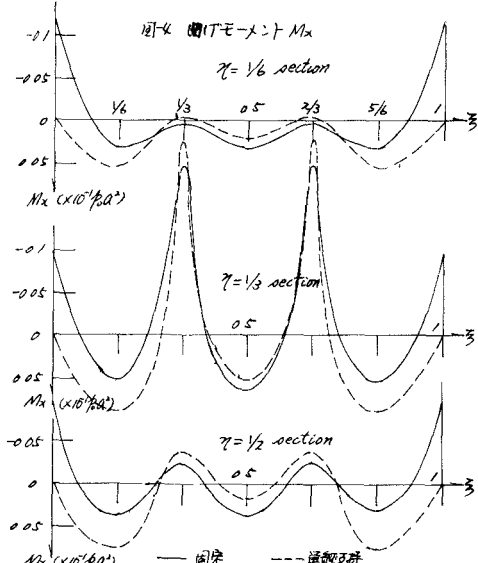


図-3 $T_{Vf} + w$



(2) 1辺が固定され、他の3辺が車輪支承である無深板 図-6 に示すように無深板は左端、等分布荷重が半載される場合の解を、中间柱の反力モーメントを考慮する場合と、無視する場合について求め

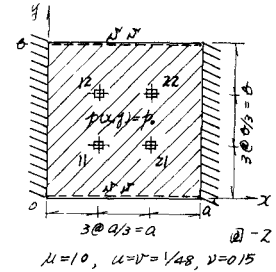


図-2

$$\mu = 10, \alpha = \beta = 1/48, \nu = 0.15$$

(a) 周辺単純支承	(b) 補正値	(c) +(b)
0.8529	-0.3570	0.4959
0.5338	-0.3187	0.2191
0.5339	-0.2780	0.2559
0.8261	-0.2598	0.1663
0.3114	-0.1750	0.1364

表-2

以下図-7, 8, 9 のことである。

△ 結語 本法は1次四角単純支持されたばかりの任意境界条件を支えられるものに加え、(P)用いた場合に既計算されたことのない柱と梁の無深板や、板の基礎微分方程式ハーモニクス波数級数を用いて解析したものであるが、又に直線性とく、これら下の算出方法式の形状定数および荷重係数から下の基本構造を用いて求められたので、他の手法(差分法やFEMなど)による基本構造の解の結果を用いたり可能である。すなはち、本法で採用すれば全周辺が全く任意の支持条件をもつ無深板や、さらには任意形状の板構成された無深板の解析も可能であり、これさらに今後後日報告の予定である。

参考文献 (1) 山崎 横木 国際単純支持された無深板の解法、

工機会報文集136(145)号、N41.12、

(2) 山崎 横木 構造力学問題解説 第二編

モードメント(国際式)による連続梁等の無深板

板の解法、九月学会集録 40巻、

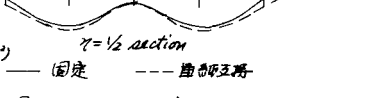
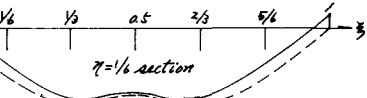
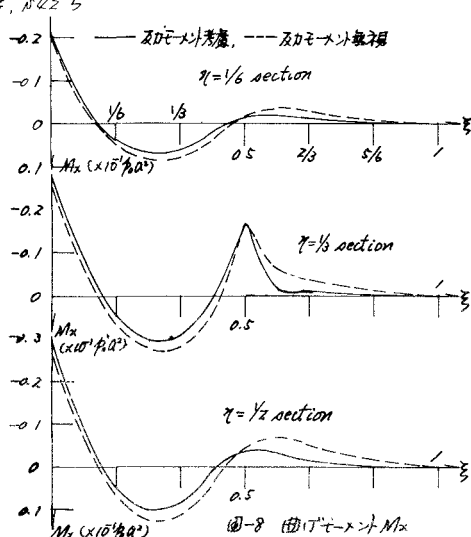
N42.3、(3) 山崎 横木 今岡

1次四角固定すなはち単純支持した

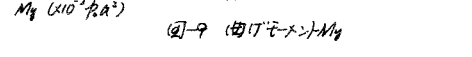
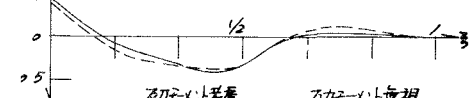
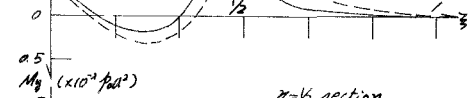
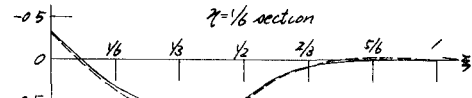
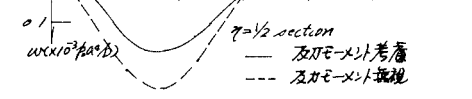
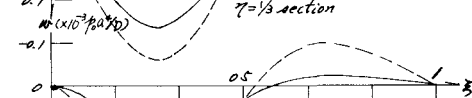
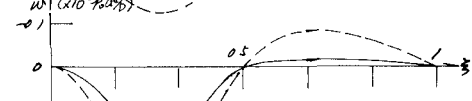
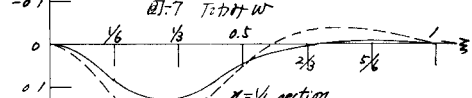
無深板の解法、第2回工芸

学会年次学術講演会講演会

集録、N42.5



④-5 (曲げモーメント) M_y



④-6 (曲げモーメント) M_y